

# 第6章

# 第6章 无限冲激响应(IIR) 数字滤波器设计

- 6.1 滤波器的基本概念
- 6.2 模拟低通滤波器设计
- 6.3 模拟高通、带通及带阻滤波器设计
- 6.4 用冲激响应不变法设计IIR数字低通滤波器
- 6.5 用双线性Z变换法设计IIR数字低通滤波器
- 6.6 数字高通、带通及带阻滤波器的设计

# 巴特沃思模拟低通滤波器的极点及其几何位置对应和变量取值关系

$$p_k = \exp \left[ j \frac{2k + N - 1}{2N} \pi \right]$$

$$k = 1, 2, \dots, 2N$$

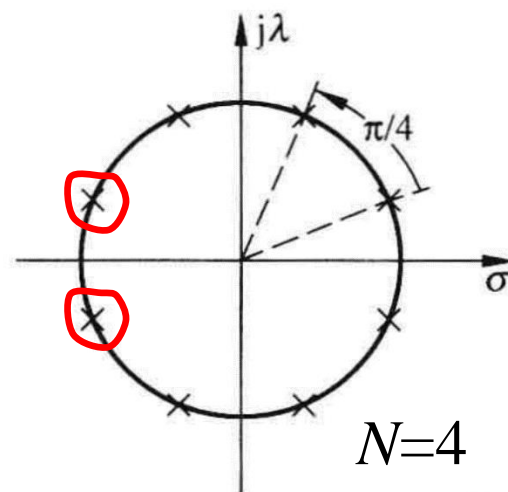
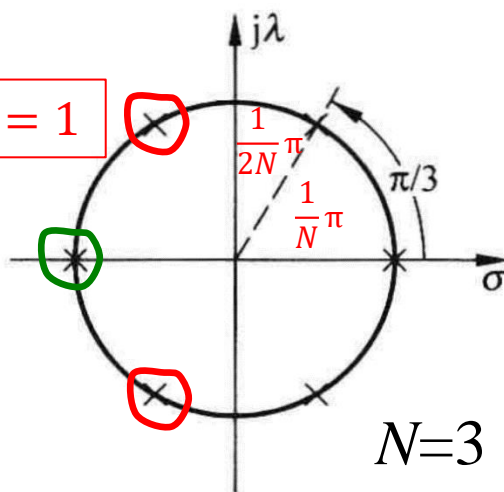
$$\frac{2k + N - 1}{2N}$$

$$k = 1: 90^\circ + \frac{1}{2N} \pi$$

$$k = 1$$

$G(p)G(-p)$

极点分布：



即 $2N$ 个极点均匀分布在 $p$ 平面半径为 1 的圆上，应取左半平面的 $N$ 个赋予 $G(p)$ ， $k = 1, 2, \dots, N$ ；右半平面的 $N$ 个赋予 $G(-p)$ 。

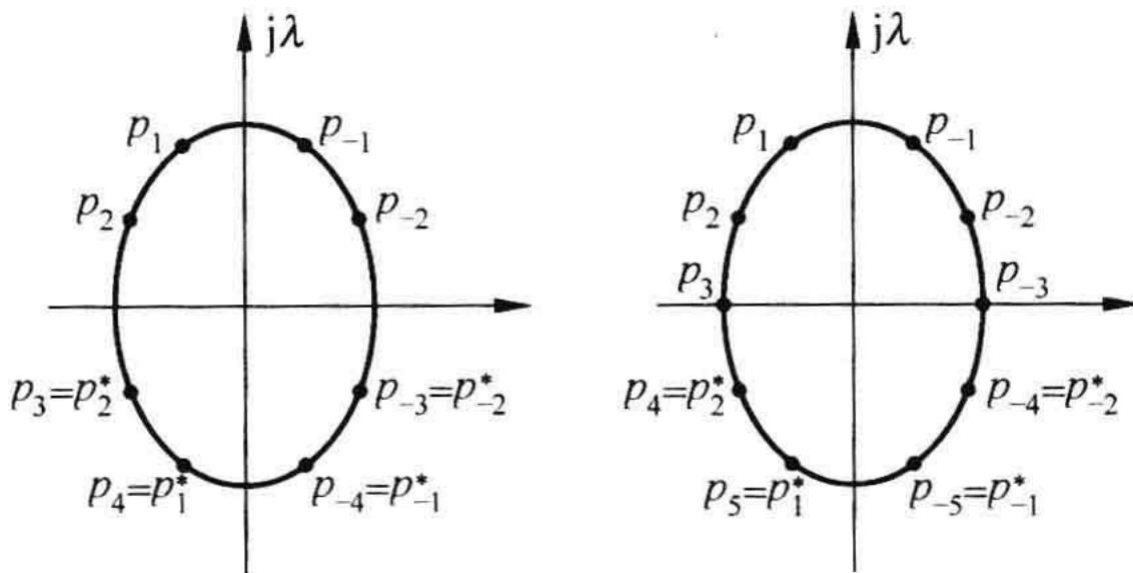
$$s_k = \Omega_p e^{j\left(\frac{1}{2} + \frac{2k-1}{2N}\right)\pi}$$

## 切比雪夫模拟低通滤波器的极点及其几何位置对应和变量取值关系

令  $p_k = \sigma_k + j\lambda_k$ , 有: 
$$\left(\frac{\sigma_k}{\sinh(\varphi_2)}\right)^2 + \left(\frac{\lambda_k}{\cosh(\varphi_2)}\right)^2 = 1$$

即实部、实部满足椭圆方程, 如下图所示:

切比雪夫滤波器的极点分布

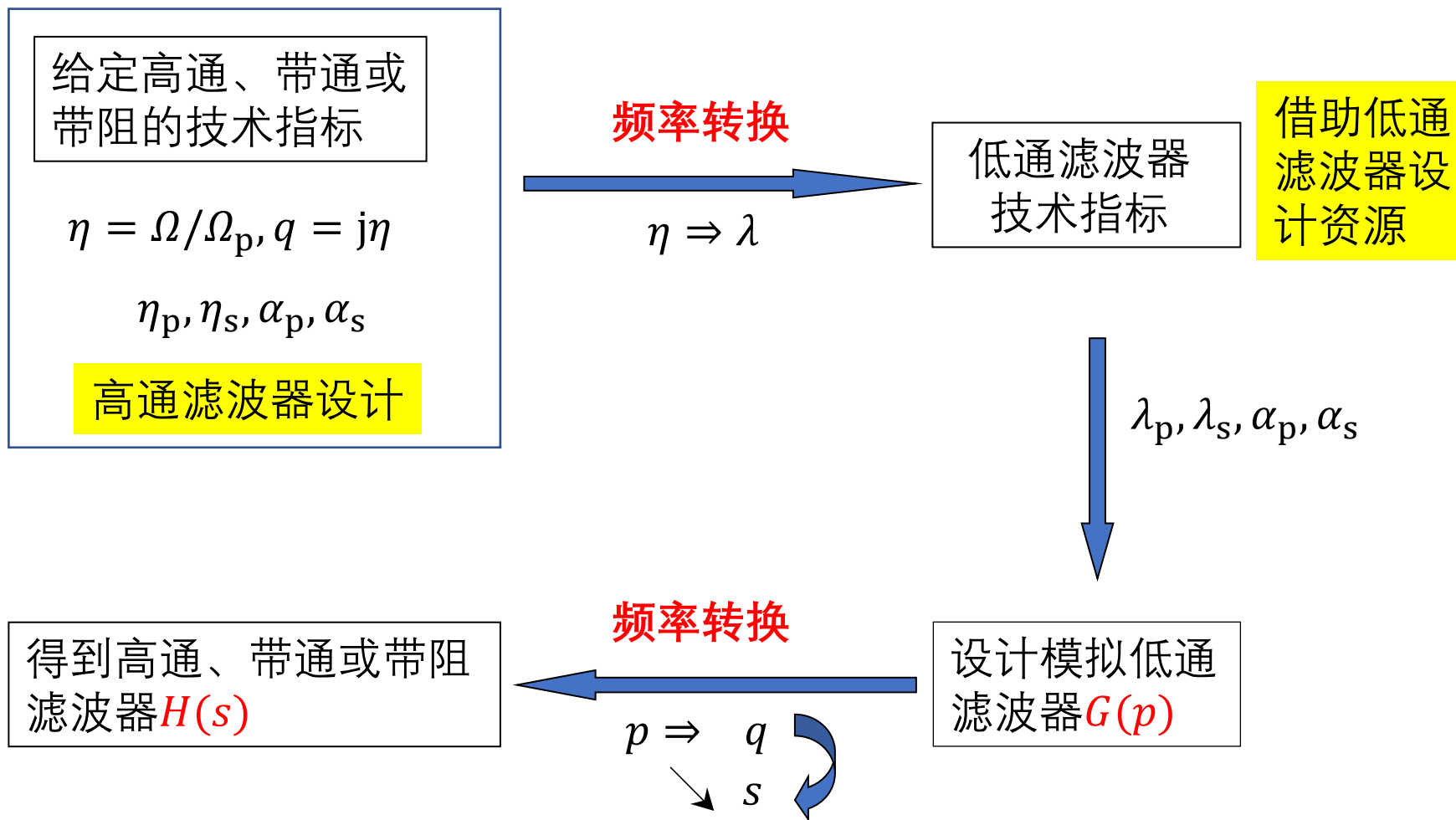


求出的  $2n$  个极点  $p_k$ , 一半属于  $G(p)$ , 一半属于  $G(-p)$ , 把左半平面的极点赋予  $G(p)$ , 即  $k = 1, 2, \dots, n$ 。

$$p_k = -\sin\left[\frac{(2k-1)\pi}{2n}\right]\sinh(\varphi_2) + j\cos\left[\frac{(2k-1)\pi}{2n}\right]\cosh(\varphi_2)$$

$$k = 1, 2, \dots, n; \quad \varphi_2 > 0$$

## 6.3 模拟高通、带通及带阻滤波器的设计



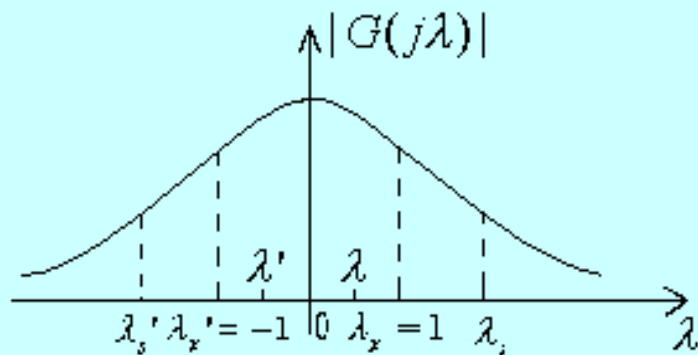
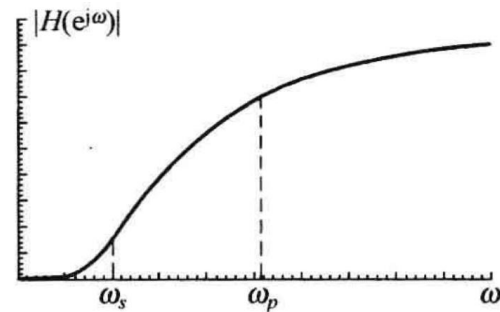
模拟高通、带通、带阻滤波器设计流程

# 一、模拟高通滤波器的设计

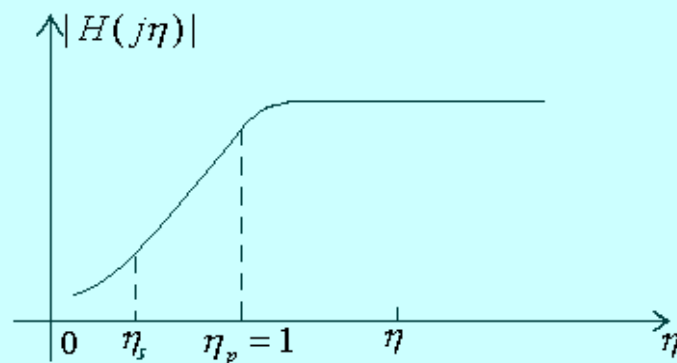
给定高通滤波器的技术指标：  $\Omega_p, \Omega_s, \alpha_p, \alpha_s$

频率归一化：  $\eta = \Omega/\Omega_p, \therefore \eta_p = 1, \eta_s < 1$

高通到低通的转换：



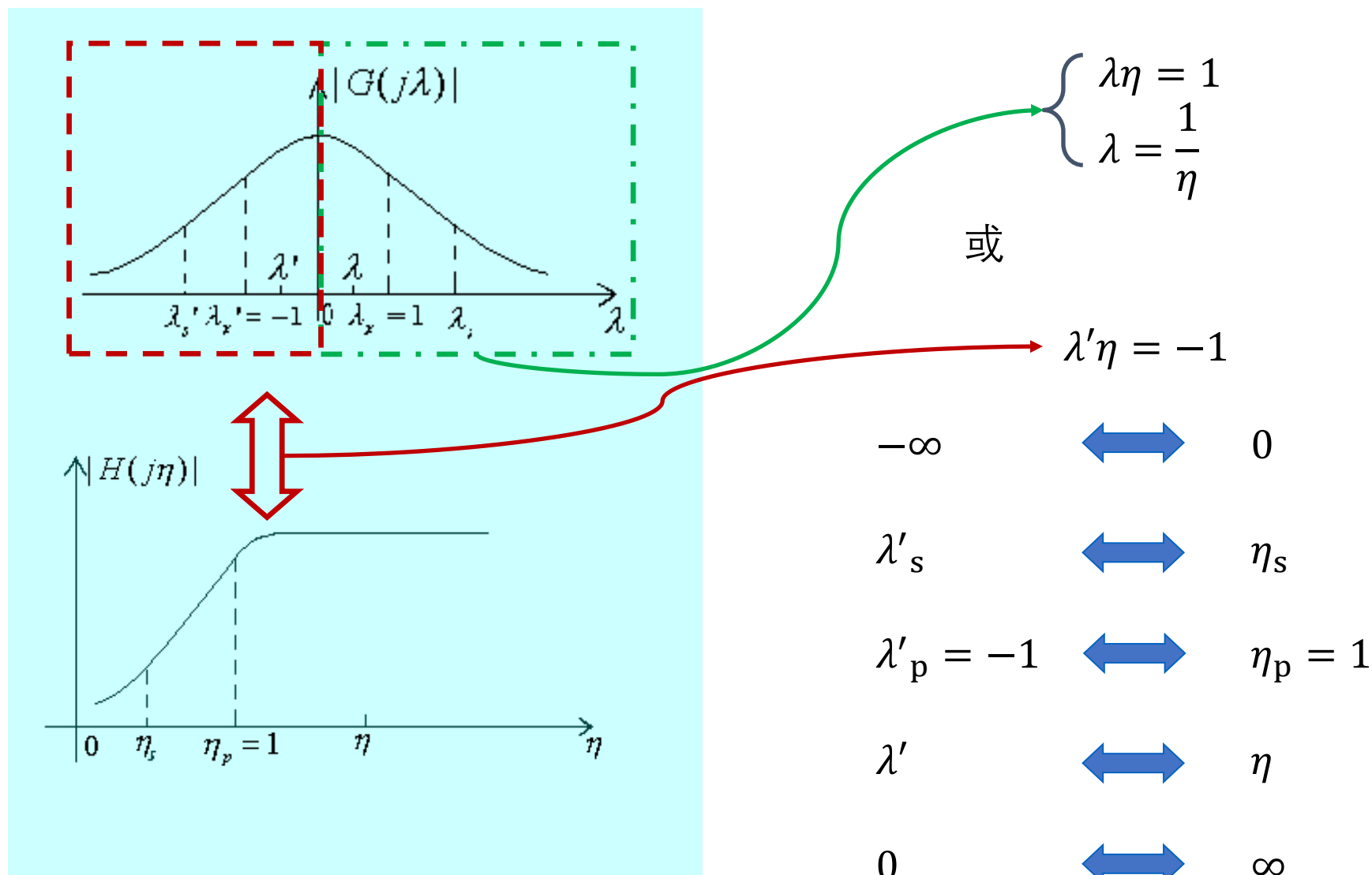
低通幅频



高通幅频

保证指定频率点上满足要求

# 1. 频率变换关系



频率变换关系  $\lambda = f(\eta)$

## 2. 衰减参数保持不变

## 3. 系统函数

先归一化模拟低通滤波器 $G(p)$ ; 再去归一化得到系统函数 $H(s)$

由:

$$\eta = \Omega/\Omega_p, \quad \lambda = 1/\eta$$

实现:

$$\eta \Rightarrow \lambda \quad \Rightarrow \quad \text{设计出} \quad G(p) \quad (\text{LP})$$

如何:

$$G(p) \quad \Rightarrow \quad H(s) \quad (\text{HP})$$

$$q = j\eta = j\frac{1}{\lambda} = -\frac{1}{p} \quad \Rightarrow \quad \frac{1}{p}$$

$q$ : 归一化高通滤波器的复变量

$p$ : 归一化低通滤波器的复变量



得：

$$H(q) = G(p)|_{p=\frac{1}{q}} = G\left(\frac{1}{q}\right)$$

两个归一化系统函数的转换

$$q = j\eta = j\frac{\Omega}{\Omega_p} = \frac{s}{\Omega_p}$$

$$\therefore H(s) = G(p)|_{p=\Omega_p/s}$$

去归一化

$$G(p) \xrightarrow[p \text{ 和 } s \text{ 的关系: } p=\Omega_p/s]{p \text{ 和 } q \text{ 的关系: } p=1/q} H(q) \xrightarrow{q \text{ 和 } s \text{ 的关系: } q=s/\Omega_p} H(s)$$

$$G(p) \xrightarrow{p \text{ 和 } s \text{ 的关系: } p=\Omega_p/s} H(s)$$

于是得到： 模拟高通滤波器的转移函数

**例 6.3.1** 用巴特沃思滤波器设计一个高通模拟滤波器,要求  $f_p=100\text{Hz}$ ,  $\alpha_p=3\text{dB}$ ,  $f_s=50\text{Hz}$ ,  $\alpha_s=30\text{dB}$ 。

**解** ① 先将频率归一化,得  $\eta_p=1$ ,  $\eta_s=0.5$ 。

② 做频率转换,得  $\lambda_p=1$ ,  $\lambda_s=2$ , 仍有  $\alpha_p=3\text{dB}$ ,  $\alpha_s=30\text{dB}$ 。

③ 设计低通巴特沃思滤波器。由例 6.2.1 可知,  $C=1$ ,  $N=5$ , 因而得归一化转移函数为

$$G(p) = \frac{1}{(p+1)(p^2+0.618p+1)(p^2+1.618p+1)}$$

④ 求高通滤波器的转移函数  $H(s)$ 。令  $p=\Omega_p/s=200\pi/s$ , 并代入上式, 即可得高通滤波器的转移函数  $H(s)$ 。

本例在频率转换后, 与例6.2.1相比, 在模拟低通原型滤波器的指标上4个参数是相同的, 所以得到了同样的低通原型滤波器。实际频率并不相同。


带通、带阻滤波器和高通滤波器的转换过程大体相同。

## 二、模拟带通滤波器的设计

4个频率参数

定义通带带宽:  $\Omega_{BW} = \Omega_3 - \Omega_1$

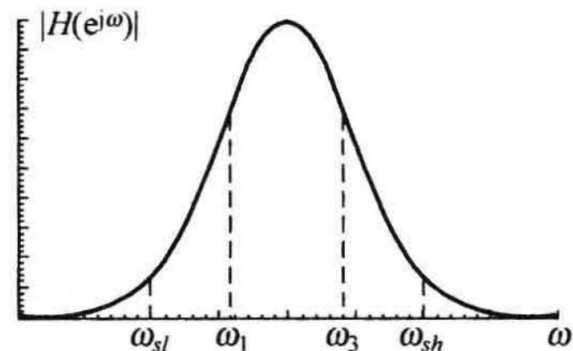
对 $\Omega$ 轴归一化:  $\eta = \Omega / \Omega_{BW}$

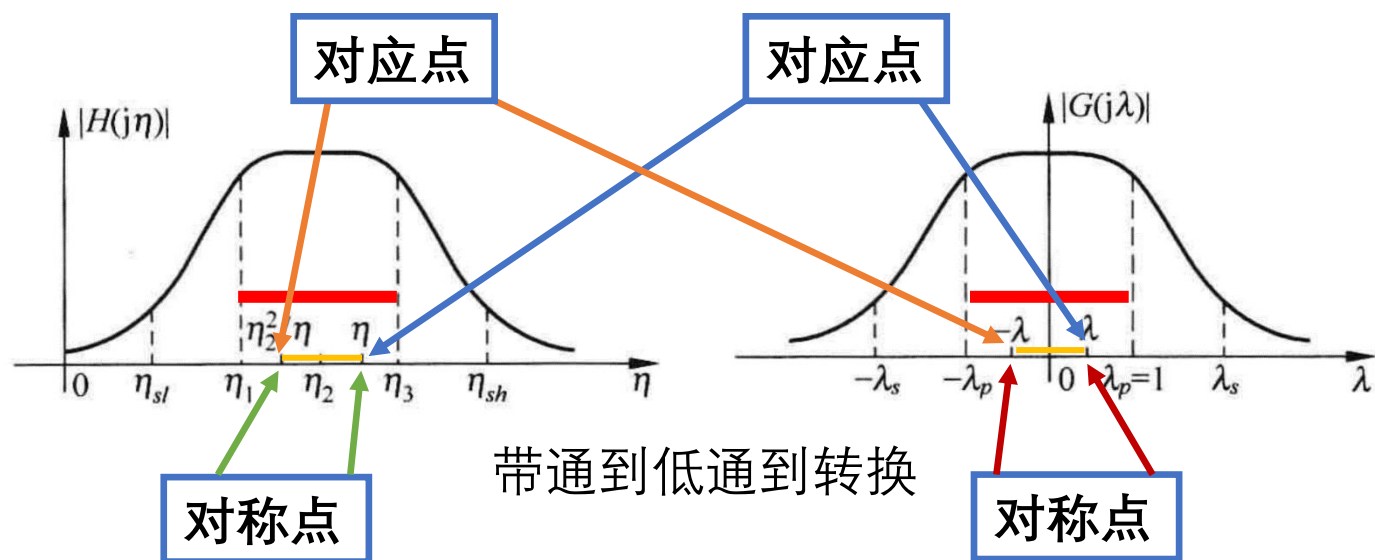
定义通带中心频率:  $\Omega_2^2 = \Omega_1 \Omega_3$    $\eta_2^2 = \eta_1 \eta_3$

按比例找对应关系

- 在**通带**内设定变量 $\lambda$ 和 $\eta$
- 对应点, 对称点
- 实现带通滤波器技术指标到低通的转换的关键问题是找到对应关系

$$\eta \Leftrightarrow \lambda \quad ?$$





保证指定频率点上满足要求

$\lambda$ :	$-\infty$	$-\lambda_s$	$-\lambda_p$	0	$\lambda_p$	$\lambda_s$	$\infty$
$\eta$ :	0	$\eta_{sl}$	$\eta_1$	$\eta_2$	$\eta_3$	$\eta_{sh}$	$\infty$

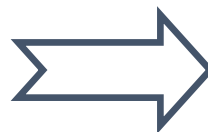
$\eta \Leftrightarrow \lambda$

$$\frac{\eta - \eta_2^2/\eta}{\eta_3 - \eta_1} = \frac{2\lambda}{2\lambda_p}$$

几何比例关系

由于

$$\eta_3 - \eta_1 = 1, \quad \lambda_p = 1$$



$$\lambda = \frac{\eta^2 - \eta_2^2}{\eta}$$



$p$ 和 $q$ 的关系

$$p = j\lambda = j \frac{\eta^2 - \eta_2^2}{\eta} = j \frac{(q/j)^2 - \eta_2^2}{(q/j)}$$

$$= \frac{q^2 + \eta_2^2}{q} = \frac{\left(\frac{s}{\Omega_{BW}}\right)^2 + \frac{\Omega_1 \Omega_3}{\Omega_{BW}^2}}{(s/\Omega_{BW})}$$

$q$ 和 $s$ 的关系

去归一化频  
率转换关系

$$p = \frac{s^2 + \Omega_1 \Omega_3}{s(\Omega_3 - \Omega_1)}$$

$p$ 和 $s$ 的关系

设计模拟低通归一化滤波器时衰减参数不变。

### 模拟带通滤波器的转移函数

由上分析, 可得  $H(s) = G(p) \Big|_{p=\frac{s^2+\Omega_1\Omega_3}{s(\Omega_3-\Omega_1)}}$

$N$ 阶低通滤波器转换到带通后, 阶次变为 $2N$ 。

**例 6.3.2** 试设计一个切比雪夫带通滤波器, 要求带宽为 200Hz, 中心频率等于 1 000Hz, 通带内衰减不大于 3dB, 在频率小于 830Hz 或大于 1 200Hz 处的衰减不小于 25dB。

**解** 由题意知,  $\Omega_{BW} = 2\pi \times 200$ ,  $\Omega_2 = 2\pi \times 1\,000$ ,  $\alpha_p = 3\text{dB}$ ,  $\Omega_{sl} = 2\pi \times 830$ ,  $\Omega_{sh} = 2\pi \times 1\,200$ ,  $\alpha_s = 25\text{dB}$ 。

① 将频率归一化,有  $\eta_2^2 = 25$ ,  $\eta_{sl} = 4.15$ ,  $\eta_{sh} = 6$ , 由  $\eta_3 - \eta_1 = 1$ ,  $\eta_2^2 = \eta_1 \eta_3$ , 可求出  $\eta_1 = 4.525$ ,  $\eta_3 = 5.525$ 。

② 求低通滤波器的技术指标。由图 6.3.2 及(6.3.3)式,有

$$\lambda_p = \frac{\eta_3^2 - \eta_2^2}{\eta_3} = 1, \quad -\lambda_p = \frac{\eta_1^2 - \eta_2^2}{\eta_1} = -1$$

$$\lambda_s = \frac{\eta_{sh}^2 - \eta_2^2}{\eta_{sh}} = 1.833, \quad -\lambda_s = \frac{\eta_{sl}^2 - \eta_2^2}{\eta_{sl}} = -1.874$$

$\lambda_p = 1$  可以不用计算而直接给出,但  $\lambda_s$  与  $-\lambda_s$  的绝对值略有不同。这是由于所给的技术要求并不完全对称所致。取  $\lambda_s$  为其中绝对值较小者,即  $\lambda_s = 1.833$ , 这样在  $\lambda_s = 1.833$  处的衰减保证为 25dB, 在  $\lambda = 1.874$  处的衰减更能满足要求。

③ 设计低通切比雪夫滤波器  $G(p)$ 。由技术参数  $\alpha_p = 3\text{dB}$ ,  $\alpha_s = 25\text{dB}$ ,  $\lambda_p = 1$ ,  $\lambda_s = 1.833$ , 得

$$\epsilon^2 = 0.995\,262\,3, \quad n = 3$$

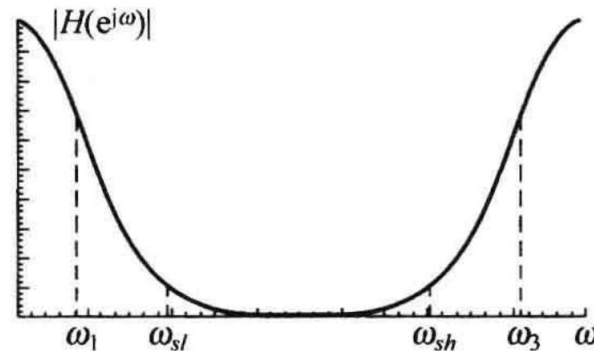
$$G(p) = \frac{1}{\epsilon \times 2^2 (p + 0.298\,6)(p^2 + 0.298\,6p + 0.839\,2)}$$

④ 求带通转移函数  $H(s)$ , 即有

$$H(s) = G(p) \Big|_{p = \frac{s^2 + \Omega_1 \Omega_3}{s(\Omega_3 - \Omega_1)}} = G(p) \Big|_{p = \frac{s^2 + 4\pi^2 \times 1000^2}{s \times 2\pi \times 200}}$$

### 三、模拟带阻滤波器的设计


带阻滤波器频率归一化方法同带通滤波器



4个频率参数：

定义阻带带宽： $\Omega_{BW} = \Omega_3 - \Omega_1$

对 $\Omega$ 轴归一化： $\eta = \Omega / \Omega_{BW}$

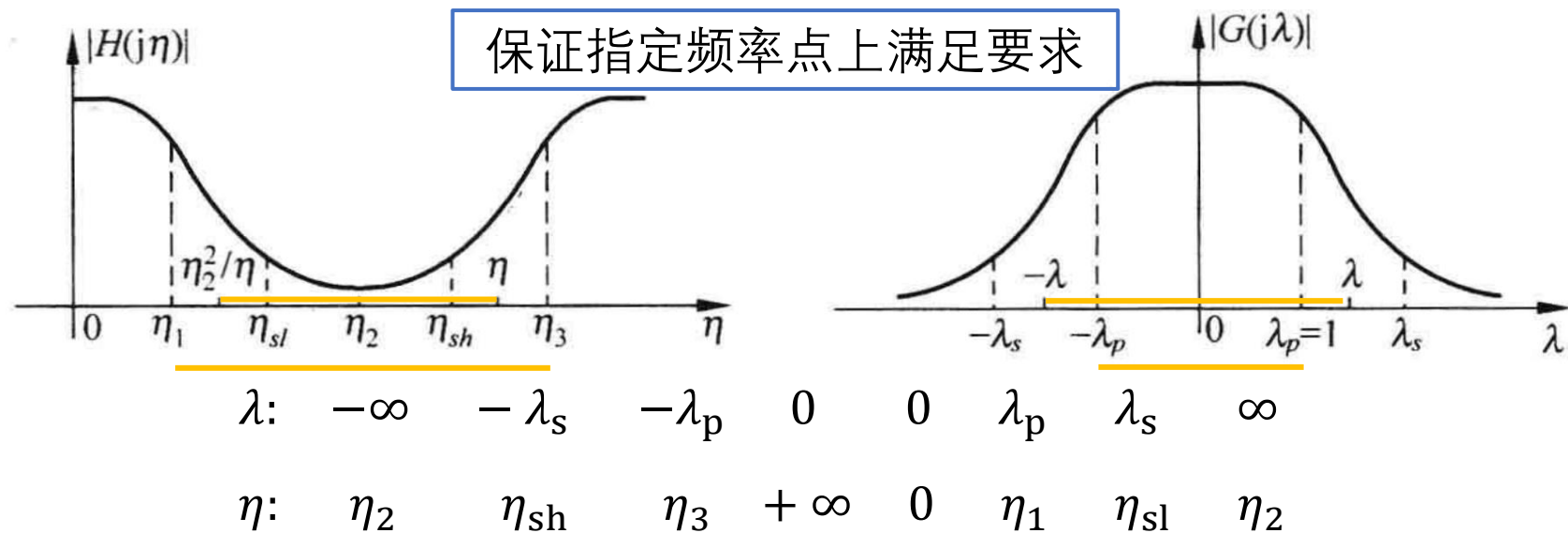
定义阻带中心频率： $\Omega_2^2 = \Omega_1 \Omega_3$    $\eta_2^2 = \eta_1 \eta_3$

按比例找对应关系

- 在过渡带内设定变量 $\lambda$ 和 $\eta$
- 对应点，对称点
- 实现带通滤波器技术指标到低通的转换的关键问题是找到对应关系

$$\eta \Leftrightarrow \lambda ?$$





几何比例关系:

$$\frac{\eta - \eta_2^2/\eta}{\eta_3 - \eta_1} = \frac{2\lambda_p}{2\lambda}$$

归一化频率变换关系 ➡

$$\begin{aligned} \because \quad & \eta_3 - \eta_1 = 1, \lambda_p = 1, \\ \therefore \quad & \lambda = \frac{\eta}{\eta^2 - \eta_2^2} \end{aligned}$$

$$p \xrightarrow[\lambda=f(\eta)]{\eta=g(\lambda)} q \xrightarrow{q=j\eta=j\frac{\Omega}{\Omega_{BW}}=\frac{s}{\Omega_{BW}}} s$$

得到：

$$p = \frac{s(\Omega_3 - \Omega_1)}{s^2 + \Omega_1\Omega_3} \quad \leftarrow \quad \text{去归一化频率变换关系}$$

设计模拟低通归一化滤波器时衰减参数不变。

模拟带阻滤波器的转移函数

$$H(s) = G(p) \Big|_{p=\frac{s(\Omega_3-\Omega_1)}{s^2+\Omega_1\Omega_3}}$$

**例 6.3.3** 给定模拟带阻滤波器的技术指标： $\Omega_1 = 2\pi \times 905$ ,  $\Omega_{sl} = 2\pi \times 980$ ,  $\Omega_{sh} = 2\pi \times 1020$ ,  $\Omega_3 = 2\pi \times 1105$ ,  $\alpha_p = 3\text{dB}$ ,  $\alpha_s = 25\text{dB}$ , 试设计巴特沃思带阻滤波器。

**解** (1)  $\Omega_{BW} = \Omega_3 - \Omega_1 = 2\pi \times 200$ ,  $\Omega_2^2 = \Omega_1 \times \Omega_3 = 4\pi^2 \times 104975$

$$\eta_1 = 4.525, \eta_3 = 5.525, \eta_{sl} = 4.9, \eta_{sh} = 5.1, \eta_2^2 = \eta_1 \eta_3 = 25, \eta_3 - \eta_1 = 1$$

(2) 由(6.3.6)式, 有

$$-\lambda_s = \frac{\eta_{sl}}{\eta_{sl}^2 - \eta_2^2} = -4.949, \quad \lambda_s = \frac{\eta_{sh}}{\eta_{sl}^2 - \eta_2^2} = 5.049$$

取  $\lambda_s = 4.949$ , 且  $\lambda_p = 1$ 。

(3) 由  $\alpha_p = 3\text{dB}$ ,  $\alpha_s = 25\text{dB}$ ,  $\lambda_p = 1$ ,  $\lambda_s = 4.949$  设计出的巴特沃思滤波器的阶次  $N=2$ , 所以

$$G(p) = \frac{1}{p^2 + \sqrt{2}p + 1}$$

(4) 将

$$p = \frac{s(\Omega_3 - \Omega_1)}{s^2 + \Omega_1 \Omega_3} = \frac{s \times 400\pi}{s^2 + 4\pi^2 \times 104975}$$

代入上式, 即得所设计的带阻滤波器的转移函数  $H(s)$ 。

以上讨论的是模拟低通、高通、带通及带阻滤波器的设计。

这并不是我们的目的。我们的目的是设计数字滤波器。

首要的问题是如何将数字滤波器的技术指标转换为模拟滤波器的技术指标，最后再实现模拟滤波器到数字滤波器的转换。

## 6.4 用冲激响应不变法设计 IIR DF

给定数字滤波器的技术指标  $\omega_p, \omega_s, \alpha_p, \alpha_s$  (更多)



转换成模拟滤波器的技术指标  $\Omega_p, \Omega_s, \alpha_p, \alpha_s$  (更多)



转换成模拟低通滤波器的技术指标  $\lambda_p, \lambda_s, \alpha_p, \alpha_s$



设计模拟低通滤波器  $G(p)$



得到模拟高通、带通、带阻滤波器  $H(s)$

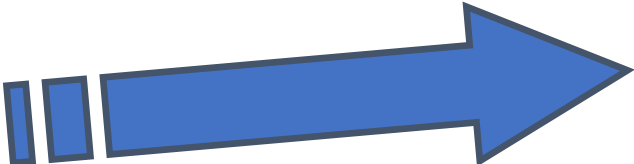


得到数字高通、带通、带阻滤波器  $H(z)$



最直接的方法：应用傅里叶扩展变换LT和ZT关系上  $s$  平面和  $z$  平面的映射规律。

$$z = e^{sT_s}, \quad s = \frac{1}{T_s} \ln z$$

$\omega = \Omega T_s$  

$\omega_p, \omega_s, \alpha_p, \alpha_s$   
 $\downarrow \quad \downarrow$   
 $\Omega_p, \Omega_s$        $\alpha_s, \alpha_p$  不变

利用前面知识设计出模拟滤波器  $G(p), G(s)$

$$\Rightarrow H(z) \quad ?$$

$$H(z) = G(s) \Big|_{s=\frac{1}{T_s} \ln z}$$

问题：  $H(z)$  将不再是  $z$  的有理多项式，给极 - 零分析带来困难

## $G(s) \rightarrow H(s)$ 的可行方案：冲激响应不变法

数字滤波器的  
单位抽样响应

模拟滤波器的  
单位冲激响应

令：

$$h(nT_s) = g(t)|_{t=nT_s} = g(t) \sum_{n=0}^{\infty} \delta(t - nT_s)$$

$$H(z) = \sum_{n=0}^{\infty} h(nT_s) z^{-n}$$


1. 会这么计算吗？ .....


2. 注意：


$$H(e^{j\omega}) = \frac{1}{T_s} \sum_{k=-\infty}^{\infty} G(j\Omega - jk\Omega_s) \Big|_{\Omega=\omega/T_s}$$

关联三者：模拟信号的CTFT、理想采样信号的CTFT、序列的DTFT；  
即是原理利用，也将是问题所致。

## 基本转换单元


$$G(s) = \frac{A}{s + \alpha} \Leftrightarrow H(z) = \frac{A}{1 - e^{-\alpha T_s} z^{-1}}$$
$$g(t) = Ae^{-\alpha t} \Rightarrow h(nT_s) = Ae^{-\alpha nT_s} \quad \Uparrow$$


$$G(s) = \frac{\beta}{(s - \alpha)^2 + \beta^2} \Leftrightarrow g(t) = e^{\alpha t} \sin(\beta t) u(t)$$
$$H(z) = \frac{ze^{\alpha T_s} \sin(\beta T_s)}{z^2 - z[2e^{\alpha T_s} \cos(\beta T_s)] + e^{2\alpha T_s}}$$


$$\frac{s - \alpha}{(s - \alpha)^2 + \beta^2} \Leftrightarrow \frac{1 - z^{-1} e^{\alpha T_s} \cos(\beta T_s)}{1 - 2z^{-1} e^{\alpha T_s} \cos(\beta T_s) + z^{-2} e^{2\alpha T_s}}$$
$$g(t) = e^{\alpha t} \cos(\beta t) u(t) \Rightarrow h(n) = g(t) \Big|_{t=nT_s} \quad \Uparrow$$



## 一阶系统的转换关系

$$\frac{1}{s + \alpha} \Rightarrow \frac{1}{1 - e^{-\alpha T_s} z^{-1}}$$

$s$ 平面极点 $-\alpha \Rightarrow z$ 平面极点  $e^{-\alpha T_s}$

$T_s$ 的作用

一般地，对于共轭极点  $s_k, s_k^*$

$$\begin{aligned} \frac{A_k}{s - s_k} &\Rightarrow \frac{A_k}{1 - e^{s_k T_s} z^{-1}} \\ \frac{A_k^*}{s - s_k^*} &\Rightarrow \frac{A_k^*}{1 - e^{s_k^* T_s} z^{-1}} \end{aligned}$$

$G(s)$ 总可由一阶和二阶系统并联而成，故由上面两式可实现由 $G(s)$ 到 $H(z)$ 的转换，该转换所遵循的基本关系仍是 $z = e^{sT_s}$ 。

**步骤** (1)利用 $\omega = \Omega T_s$ ，将 $\omega_p, \omega_s$ 转换为 $\Omega_p, \Omega_s$ ， $\alpha_s, \alpha_p$ 不变。

(2) 设计低通模拟滤波器 $G(s)$ 。

线性转换关系

(3) 将 $G(s)$ 转换为 $H(z)$ 。

**缺点**  $|H(e^{j\omega})|$ 相对于 $|G(j\Omega)|$ 有较大失真，这是因为抽样频率过小时易产生混迭。此外，该方法对高通、带阻滤波器不适用。



## 分析混叠失真

**例 6.4.1** 图 6.4.1(a) 是一个简单的一阶  $R$ - $C$  电路, 令  $\alpha=1/RC$ , 不难求出

$$G(s) = \frac{\alpha}{s + \alpha}, \quad g(t) = \alpha e^{-\alpha t}$$

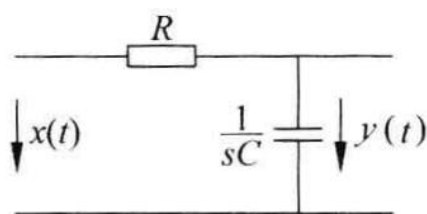
注意到(6.4.4)式中  $H(e^{j\omega})$  和  $G(j\Omega)$  之间有一定标因子  $T_s^{-1}$ , 为了去掉这一定标因子, 我们可令

$$h(nT_s) = T_s g(t) \big|_{t=nT_s} \quad (6.4.8)$$

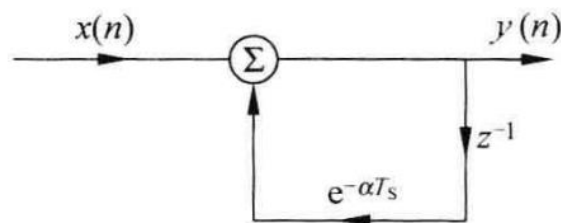
对本例, 有

$$h(nT_s) = T_s \alpha e^{-\alpha n T_s}, \quad H(e^{j\omega}) = \frac{T_s \alpha}{1 - e^{-\alpha T_s} e^{-j\omega}}, \quad H(z) = \frac{T_s \alpha}{1 - e^{-\alpha T_s} z^{-1}}$$

与图 6.4.1(a) 相对应, 图(b) 给出了  $H(z)$  的信号流图, 图 6.4.2(a) 和 (b) 分别给出了  $g(t)$  与  $h(nT_s)$  的曲线。



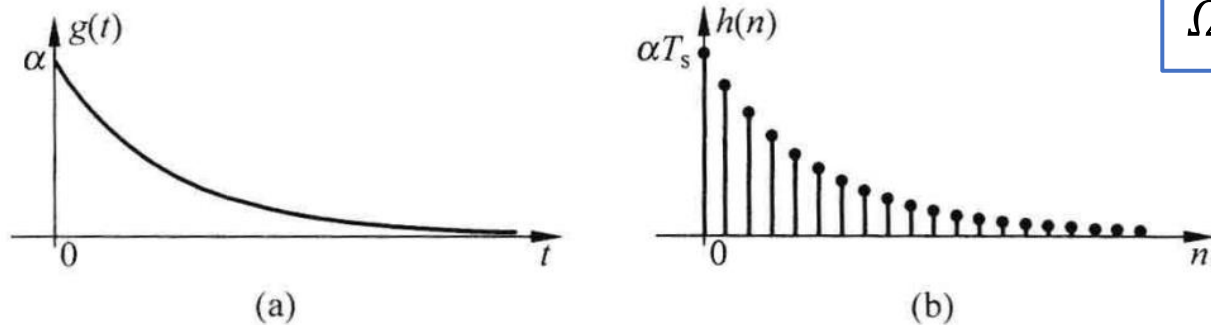
(a)



(b)

图 6.4.1 模拟系统与数字系统的对应关系

(a) 一阶  $R$ - $C$  电路; (b) 对应的一阶数字系统



$$\begin{aligned}\Omega &= 2\pi f \\ \Omega_s &= 2\pi F_s \\ \Omega_s/2 &= \pi/T_s\end{aligned}$$

图 6.4.2 单位冲激响应  $g(t)$  和单位抽样响应  $h(n)$  的对应关系

(a)  $g(t)$ ; (b)  $g(t)$  的抽样  $h(nT_s)$

现令  $\alpha=1\ 000$ , 且分别令  $T_s=0.001\text{s}$ ,  $T_s=0.000\ 1\text{s}$ ,  $T_s=0.000\ 05\text{s}$ , 计算

$$|G(j\Omega)| = \left( \frac{\alpha^2}{\alpha^2 + \Omega^2} \right)^{1/2}, \quad 0 \leq \Omega = \omega/T_s \leq \pi/T_s \quad \text{定义域}$$

$$|H(e^{j\omega})| = \left( \frac{T_s^2 \alpha^2}{1 - 2\cos\omega e^{-\alpha T_s} + e^{-2\alpha T_s}} \right)^{1/2}, \quad 0 \leq \omega \leq \pi \quad T_s \text{ 的作用}$$

相应的幅频响应曲线示于图 6.4.3(a), (b) 和 (c)。

**注意:**  $\pi/T_s > \Omega_{\max}$

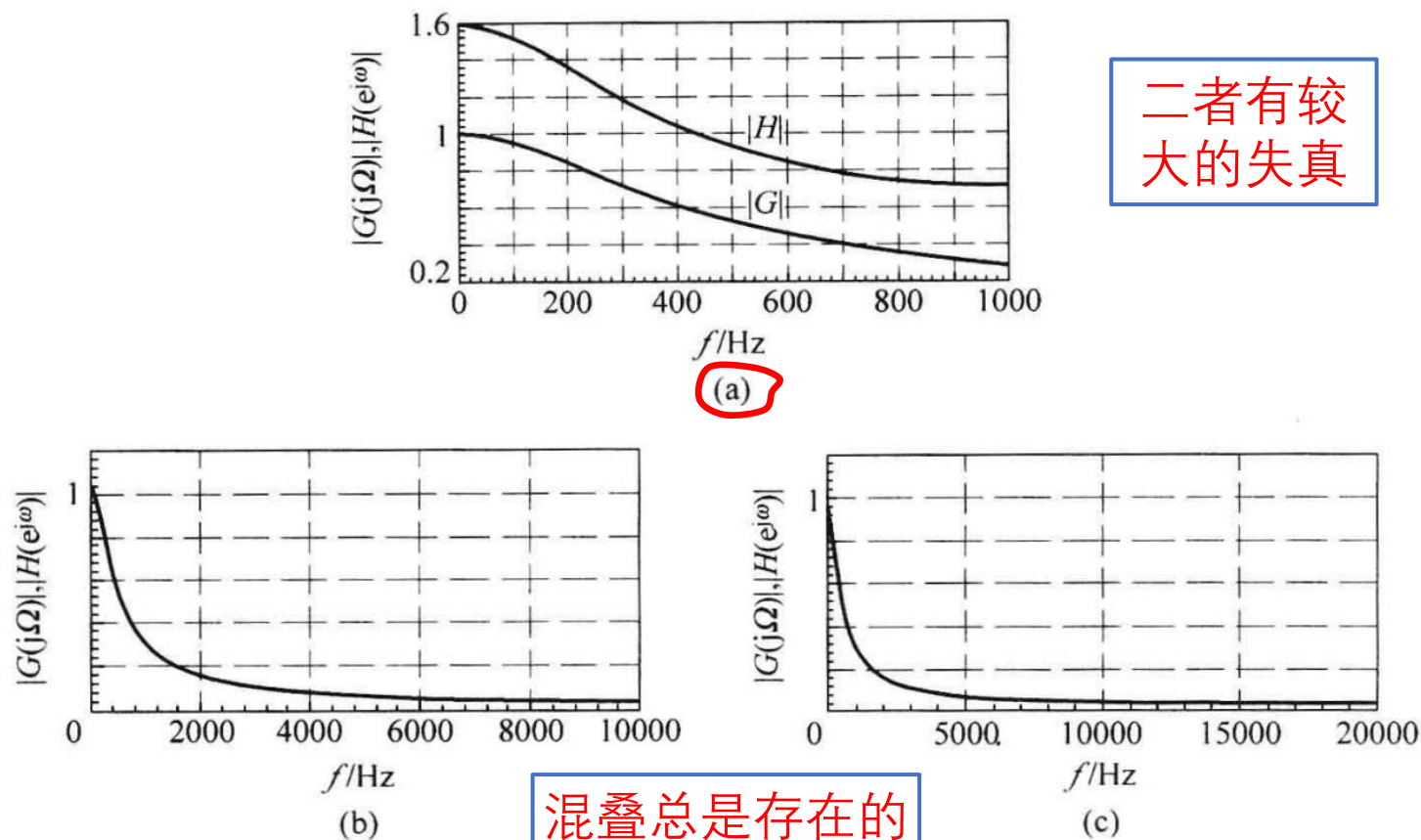


图 6.4.3  $|G(j\Omega)|$  和  $|H(e^{j\omega})|$  曲线 ( $\alpha=1000$ )  
 (a)  $T_s=0.001\text{s}$  (b)  $T_s=0.0001\text{s}$ ; (c)  $T_s=0.00005\text{s}$

显然,图 6.4.3(a)中的  $|H(e^{j\omega})|$  相对  $|G(j\Omega)|$  有了较大的失真,这是因为  $T_s$  较大 ( $T_s=0.001\text{s}$ ) 的原因,随着  $T_s$  的减小,  $|H(e^{j\omega})|$  对  $|G(j\Omega)|$  的近似也越来越好,如图(b)和(c)所示。但由于本例中的  $G(j\Omega)$  不是带限的,所以  $H(e^{j\omega})$  的混叠总还是存在。由计算可知,当  $T_s=0.001\text{s}$  时,  $|G(j0)|=1$ ,  $|H(e^{j0})|=1.582$ ,  $|H(e^{j0})|$  正是由  $G(j0)$ ,  $G(j2000\pi)$ ,  $G(-j2000\pi)$  等叠加而成。

## 注意：

由图 6.1.2 可知，高通、带阻滤波器不是带限的，因此不能用冲激响应不变法实现  $G(s)$  到  $H(z)$  的转换。对于低通和带通滤波器，当  $T_s$  足够小时，冲激响应不变法可给出较为满意的结果。例 6.4.2 说明了用冲激响应不变法设计 IIR 滤波器的过程。

## 冲激响应不变法设计IIR滤波器

**例 6.4.2** 试设计一个低通数字滤波器,要求在通带  $0 \sim 0.2\pi$  内衰减不大于 3dB,在阻带  $0.6\pi \sim \pi$  内衰减不小于 20dB,给定  $T_s = 0.001\text{s}$ 。

**解** (1) 将数字滤波器技术要求转化为模拟滤波器技术要求。

由  $\omega = \Omega T_s$ , 得  $\Omega_p = \omega_p / T_s = 200\pi$ ,  $\Omega_s = \omega_s / T_s = 600\pi$ , 仍有  $\alpha_p = 3\text{dB}$ ,  $\alpha_s = 20\text{dB}$ 。

(2) 设计模拟低通滤波器  $G(s)$ 。

令  $\lambda = \Omega / \Omega_p$ , 得  $\lambda_p = 1$ ,  $\lambda_s = 3$ , 求得  $N = 2$  及

$$G(p) = \frac{1}{p^2 + \sqrt{2}p + 1}$$

$$\begin{aligned} G(s) &= G(p) \Big|_{p=\frac{s}{\Omega_p}} = \frac{\Omega_p^2}{s^2 + \sqrt{2}\Omega_p s + \Omega_p^2} \\ &= \frac{\sqrt{2}\Omega_p\Omega_p / \sqrt{2}}{\left[s - \left(-\frac{\sqrt{2}}{2}\Omega_p\right)\right]^2 + \left(-\frac{\Omega_p}{\sqrt{2}}\right)^2} \end{aligned}$$

*N*的计算公式  
归一化原型设计  
去归一化转换

(3) 将  $G(s)$  转换为数字滤波器  $H(z)$ 。



由(6.4.6)式,令  $\alpha = -\frac{\sqrt{2}}{2}\Omega_p$ ,  $\beta = \Omega_p/\sqrt{2}$ ,  $\alpha T_s = -0.444$ ,  $\beta T_s = 0.444$ , 则

$$H(z) = \frac{zT_s e^{\alpha T_s} \sin(\beta T_s)(\sqrt{2}\Omega_p)}{z^2 - z2e^{\alpha T_s} \cos(\beta T_s) + e^{2\alpha T_s}}$$

$$= \frac{0.2449z^{-1}}{1 - 1.1580z^{-1} + 0.4112z^{-2}}$$

上式的分子比(6.4.6)式的分子多了一个  $T_s$ , 这是由于  $h(nT_s)$  是按(6.4.8)式抽样所产生的。

图 6.4.4 同时给出了  $G(j\Omega)$  和  $H(e^{j\omega})$  的对数幅频曲线。模拟滤波器完全符合技术要求, 但数字滤波器在阻带没有达到技术要求, 在  $f_s = 300\text{Hz}$  处, 衰减为  $-16.8\text{dB}$ , 这正是由于混叠所造成的。

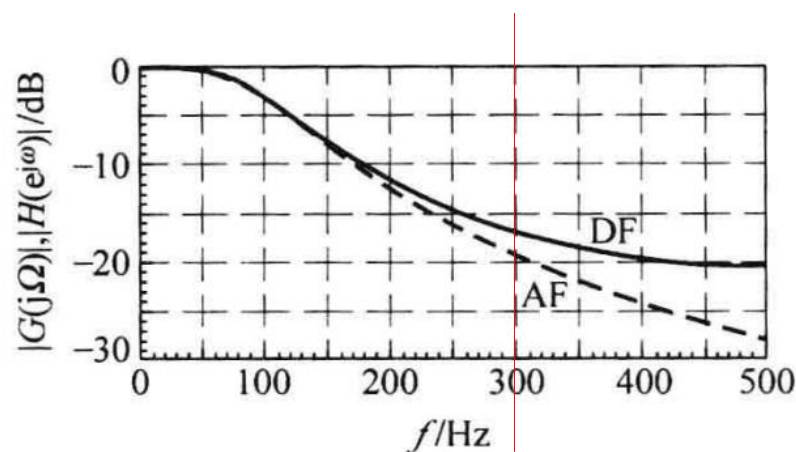


图 6.4.4 例 6.4.2 的对数幅频响应曲线



## 冲激响应不变法的优点与注意事项

**优点：**时域逼近良好；角频率之间呈线性关系（因此，对于线性相位的AF，如贝塞尔滤波器，可以映射成线性相位的DF）。

**注意：**当模拟滤波器是带限的，且带限于折叠频率 $\pi/T_s$ 内，才能使DF的频率响应不发生混叠失真，这时有：

$$H(e^{j\omega}) = \frac{1}{T_s} G(j\frac{\omega}{T_s}), |\omega| \leq \pi$$

**办法：**可以减小 $T_s$ ，以增大折叠频率，使之尽量超过 $\Omega_{\max}$ ，从而可以减小折叠频率处（对应数字的最高频率 $\pi$ ）的混叠。

奈奎斯特频率， 奈奎斯特率， 折叠频率